

# RASTREAMENTO GLOBAL E EXATO DE SISTEMAS INCERTOS UTILIZANDO UM DIFERENCIADOR EXATO NÃO-HOMOGÊNIO

PAULO VICTOR N. M. VIDAL\*, ANDREI BATTISTEL†, EDUARDO V. L. NUNES†

\**Dept. de Eng. Eletrônica e de Computação, Universidade Federal do Rio de Janeiro*

†*Programa de Engenharia Elétrica, COPPE/Universidade Federal do Rio de Janeiro*

Emails: paulovictornmv@poli.ufrj.br, battistel@ufrj.br, eduardo@coep.ufrj.br

**Abstract**— This work addresses the problem of global output tracking control for linear uncertain plants with arbitrary relative degree using output feedback sliding mode control. We propose a modification on a hybrid compensator based on a convex combination of a lead filter and a robust exact differentiator (RED) to overcome the relative degree obstacle. It is also noted that the modified scheme leads to a better control performance. Simulations confirm the proposed control efficiency.

**Keywords**— uncertain systems, sliding mode control, output-feedback, global tracking, exact differentiator

**Resumo**— Este trabalho aborda o problema de controle de rastreamento de saída global para plantas incertas com grau relativo arbitrário usando controle por modos deslizantes via realimentação de saída. Para contornar o problema do grau relativo, é proposta uma modificação em um compensador híbrido baseado em uma combinação convexa de um filtro de avanço de fase com um diferenciador robusto exato. Ainda, observa-se que o esquema modificado possibilita uma melhora no desempenho do controle. Os resultados obtidos são confirmados por simulações numéricas.

**Palavras-chave**— sistemas incertos, controle por modos deslizantes, realimentação de saída, rastreamento global, diferenciador exato

## 1 Introdução

O controle por modos deslizantes (*Sliding Mode Control* - SMC) é uma técnica muito eficiente para controlar plantas incertas, incluindo dinâmicas não modeladas, variação paramétrica e perturbações externas (Edwards and Spurgeon, 1998). Um dos principais problemas é a possibilidade da ocorrência de *chattering* ocasionado pelo chaveamento em alta frequência inerente ao SMC.

O controle por modos deslizantes de ordem superior (Higher Order Sliding Modes - HOSM), proposto em (Levant, 1993), generaliza o conceito de modos deslizantes convencionais, preservando as principais vantagens do controle SMC convencional e fornecendo uma acurácia ainda maior. Dentre os controladores baseados em HOSM, destaca-se o *Super Twisting Control* (STC) (Levant, 1998; Fridman and Levant, 2002) por ser robusto e permitir controle suave para sistemas com grau relativo um, eliminando o problema do *chattering*. Um aspecto interessante deste controlador é que ele pode ser utilizado para desenvolver diferenciadores robustos e exatos (*Robust Exact Differentiator* - RED), capazes não só de obter derivadas exatas, como também apresentar performance assintoticamente ótima na presença de pequenos ruídos de entrada (Levant, 1998; Levant, 2003).

Em (Nunes et al., 2009), foi proposto um controlador por modos deslizantes baseado em um estimador híbrido, denominado de GRED, para resolver o problema de rastreamento global e exato para plantas lineares, monovariáveis e incertas com grau relativo arbitrário. O estimador híbrido é baseado num esquema de chaveamento que com-

bina um RED com um filtro de avanço de fase, de forma a garantir estabilidade global e assegurar um rastreamento assintoticamente exato.

Recentemente, foi proposto em (Moreno and Osorio, 2008; Dávila et al., 2010) uma modificação para o STC convencional, o *Variable Gain Super Twisting Control* (VGSTC). Essa modificação resultou em uma melhora no desempenho do controlador a partir da introdução de novos termos, além de aumentar sua robustez com relação a incertezas/perturbações. Seguindo este mesmo princípio, foi proposto em (Levant, 2009) um novo diferenciador, adicionando termos lineares ao RED convencional. Esses termos possibilitam uma convergência mais rápida quando o sistema se encontra distante do equilíbrio, ao mesmo tempo que podem ser desprezados numa vizinhança suficientemente pequena em torno do equilíbrio. Desta forma, a convergência em tempo finito do RED convencional é preservada, melhorando seu desempenho.

Este artigo representa uma tentativa preliminar para melhorar o desempenho do esquema proposto em (Nunes et al., 2009) por meio de uma modificação do compensador híbrido que consiste em substituir o RED convencional por um RED modificado. Para esta finalidade o desenvolvimento teórico detalhado foi restrito ao caso de plantas com grau relativo dois. A extensão para plantas incertas com grau relativo arbitrário parece ser imediata usando os resultados apresentados em (Levant, 2009; Nunes et al., 2013).

## 2 Definição do Problema

Considera-se uma planta linear e invariante no tempo (*Linear Time Invariant - LTI*), incerta e monovariável, representada pela seguinte relação entrada-saída:

$$y_p = G_p(s)[u + d], \quad G_p = K_p \frac{N_p(s)}{D_p(s)} \quad (1)$$

onde  $u \in \mathbb{R}$  é a entrada,  $y_p \in \mathbb{R}$  é a saída,  $d \in \mathbb{R}$  é uma perturbação de entrada,  $K_p \in \mathbb{R}$  é o ganho de alta frequência,  $N_p(s)$  e  $D_p(s)$  são polinômios mônicos. Considerando o vetor  $x_p \in \mathbb{R}^n$ , a planta pode ser representada pela seguinte equação de estados:

$$\dot{x}_p = A_p x_p + b_p [u + d], \quad y_p = h_p^T x_p \quad (2)$$

As seguintes hipóteses são consideradas

- (A1)  $G_p(s)$  é uma planta de fase mínima.
- (A2) A planta é controlável e observável.
- (A3) A ordem  $n$ , o grau relativo  $\rho$  e o sinal do ganho de alta frequência  $K_p$  da planta são conhecidos.
- (A4) A perturbação de entrada é incerta, localmente integrável e uniformemente limitada por  $\bar{d}(t) \geq |d(t)|, \forall t$ , sendo  $\bar{d}(t)$  um limitante conhecido.

O sinal de referência  $y_m$  é gerado pelo seguinte modelo:

$$y_m = M(s)r, \quad M(s) = \frac{K_m}{(s + a_m)L(s)} \quad (3)$$

onde  $K_m, a_m > 0 \in \mathbb{R}$  e  $L(s)$  é um polinômio Hurwitz dado por:

$$L(s) = s^{(\rho-1)} + l_{(\rho-2)}s^{(\rho-2)} + \dots + l_1 s + l_0 \quad (4)$$

O objetivo é projetar uma lei de controle  $u(t)$  de modo que o erro de rastreamento de saída  $e \triangleq y_p - y_m$  tenha uma convergência assintótica ou em tempo finito para zero. Esse objetivo deve ser alcançado para condições iniciais e sinais de referência  $r$  (contínuos por partes e uniformemente limitados) arbitrários.

A lei de controle que iguala a função de transferência de malha fechada ao modelo de referência  $M(s)$  é dada por  $u^* = \theta^{*T} \omega$ , onde  $\theta^{*T} = [\theta_1^{*T} \theta_2^{*T} \theta_3^* \theta_4^{*T}]$  é o vetor de parâmetros, com  $\theta_1^*, \theta_2^* \in \mathbb{R}^{n-1}$ ,  $\theta_3^*, \theta_4^* \in \mathbb{R}$ , e  $\omega = [\omega_u^T \omega_y^T y_p r]^T \in \mathbb{R}^{2n}$  é o vetor regressor, com vetores  $\omega_u$  e  $\omega_y$  dados pelos filtros:

$$\dot{\omega}_u = \Lambda \omega_u + g u, \quad \dot{\omega}_y = \Lambda \omega_y + g y_p \quad (5)$$

onde  $\Lambda \in \mathbb{R}^{(n-1) \times (n-1)}$  é Hurwitz e  $g \in \mathbb{R}^{n-1}$  é escolhido tal que  $(\Lambda, g)$  seja controlável. De acordo

com (Nunes et al., 2009), a dinâmica dos estados do erro de saída é dada por:

$$\dot{x}_e = A_c x_e + k^* b_c [u - \theta^{*T} \omega + d_f], \quad e = h_c^T x_e \quad (6)$$

Ou em termos de relação entrada/saída:

$$e = k^* M(s)[u - \theta^{*T} \omega + d_f] \quad (7)$$

onde  $k^* = 1/\theta_4^*$ ,  $d_f(t) = W_d(t) * d(t)$  e  $W_d(t)$  igual a resposta ao impulso de  $W_d(s) = 1 - \theta_1^{*T} (sI - \Lambda)^{-1} g$ .

## 3 Controle por Modos Delizantes

A estratégia utilizada por este controlador é definir uma variável de deslizamento  $\sigma$  em função do erro de rastreamento de saída, de modo que, ao se alcançar em tempo finito a superfície de deslizamento  $\sigma = 0$ , o erro evolua para zero. Para isso, a seguinte condição deve ser satisfeita:

$$\sigma \dot{\sigma} \leq -\delta |\sigma|, \quad \delta > 0 \quad (8)$$

A variável de deslizamento pode ser definida, assumindo que a função de transferência  $M(s)L(s)$  é SPR (*Strictly Positive Real*), como:

$$\sigma = L(s)e \quad (9)$$

O que, considerando as equações (3) e (7), pode ser reescrito como:

$$\sigma = k^* \frac{K_m}{s + a_m} [u - \theta^{*T} \omega + d_f] \quad (10)$$

A equação pode ser escrita no domínio do tempo:

$$\dot{\sigma} = -a_m \sigma + k^* K_m [u - \theta^{*T} \omega + d_f] \quad (11)$$

É possível projetar um controlador para esse sistema na forma  $u = -f(t) \text{sign}(\sigma)$ , onde  $f(t)$  é uma função de modulação. Considerando esse controlador:

$$\dot{\sigma} = -a_m \sigma^2 - k^* K_m [f(t)|\sigma| + (\theta^{*T} \omega - d_f)\sigma] \quad (12)$$

Logo, a função de modulação  $f(t)$  deve satisfazer à condição (Nunes et al., 2009):

$$f(t) \geq |\theta^{*T} \omega - d_f| + \delta \quad (13)$$

Onde  $\delta$  é uma constante positiva. De modo a satisfazer essa condição, a função de modulação é definida como:

$$f(t) = \bar{\theta}^T [|\omega_1| \dots |\omega_{2n}|]^T + \hat{d}(t) + \delta \quad (14)$$

Onde  $\bar{\theta} \in \mathbb{R}^{2n}$  é um vetor conhecido formado por limitantes superiores elemento a elemento de  $\theta^*$ , e  $\hat{d}(t)$  é um limitante superior para  $|d_f(t)|$ , dado por:

$$\hat{d}(t) = \bar{d}(t) + \frac{c_d}{s + \lambda_d} * \bar{d}(t) \quad (15)$$

Sendo  $\lambda_d = \min_k \{-\text{Re}(\lambda_k)\}$ , onde  $\lambda_k$  são os autovalores de  $\Lambda$ . O problema desse controlador é a necessidade de se ter a variável de deslizamento diretamente disponível. Reescrevendo a equação (9) no domínio do tempo:

$$\sigma = e^{(\rho-1)} + l_{(\rho-2)}e^{(\rho-2)} + \dots + l_1\dot{e} + l_0e \quad (16)$$

Ou seja, para se aplicar o controlador  $u$ , é necessário que estejam disponíveis em tempo finito as derivadas do erro. Dois possíveis estimadores para as derivadas do erro são o RED e filtro lead.

#### 4 Diferenciadores Robustos e Exatos

Uma forma de se obter a variável de deslizamento a partir de estimativas das derivadas do erro é utilizando diferenciadores robustos e exatos. Uma vantagem da utilização dos REDs é que eles tem uma performance assintoticamente ótima na presença de pequenos ruídos de entrada mensuráveis no sentido de Lebesgue, alcançando rastreamento exato na ausência de tais ruídos. O RED não-homogêneo, recentemente proposto em (Levant, 2009), pode ser descrito por:

$$\begin{aligned} \dot{\zeta}_0 &= v_0, & v_0 &= -\lambda_0|\zeta_0 - e|^{\frac{n}{n+1}} \text{sign}(\zeta_0 - e) \\ & & & -\mu_0(\zeta_0 - e) + \zeta_1 \\ & \vdots & & \\ \dot{\zeta}_i &= v_i, & v_i &= -\lambda_i|\zeta_i - v_{i-1}|^{\frac{n-i}{n-i+1}} \text{sign}(\zeta_i - v_{i-1}) \\ & & & -\mu_i(\zeta_i - v_{i-1}) + \zeta_{i+1} \\ & \vdots & & \\ \dot{\zeta}_n &= -\lambda_n \text{sign}(\zeta_n - v_{n-1}) - \mu_n(\zeta_n - v_{n-1}) \end{aligned} \quad (17)$$

Sendo esse diferenciador não-homogêneo uma generalização do RED convencional (Levant, 1998; Levant, 2003) a partir da introdução de termos lineares. Esses termos possibilitam que o diferenciador modificado apresente uma convergência mais rápida do que o RED convencional. Fazendo  $\mu_i = 0, \forall i$  o diferenciador (17) se iguala ao RED convencional.

**Teorema 1** (Levant, 2003): *Considere o sistema (17) para  $\mu_i = 0, \forall i$ . Seja o sinal de entrada  $e(t)$  uma função definida em  $[0, \infty)$  com a derivada de ordem  $n$  tendo uma constante de Lipschitz  $C_{n+1} > 0$ . Se os parâmetros  $\lambda_i, i = 0, \dots, n$  forem escolhidos apropriadamente, então na ausência de ruído de entrada as seguintes igualdades são satisfeitas após um processo transiente em tempo finito:*

$$\zeta_0 = e(t), \zeta_i = v_{i-1} = e^{(i)}(t), i = 1, \dots, n. \quad (18)$$

**Prova:** ver (Levant, 2003)  $\square$

**Teorema 2** (Levant, 2009): *Seja a sequência positiva  $\{\lambda_i\}$  que garante uma convergência em*

*tempo finito ao diferenciador (17) com  $\mu_i = 0, \forall i$ . Pode-se escolher recursivamente uma sequência  $\{\mu_i\}$  que garanta uma convergência em tempo finito ao diferenciador (17) na ausência de ruídos.*

**Prova:** ver (Levant, 2009)  $\square$

**Lema 3** *Considere o sistema (17), com estados  $\zeta = [\zeta_0 \dots \zeta_n]^T$ . Se  $|e^{(n+1)}(t)| \leq K_{n+1}, \forall t$  (finito), para alguma constante positiva  $K_{n+1}$ , então  $\zeta(t)$  não pode divergir em tempo finito.*

**Prova:** Ver apêndice  $\square$

O diferenciador (17) de ordem  $(\rho - 1)$  pode ser utilizado para gerar a seguinte estimativa para a variável de deslizamento ideal  $\sigma$ :

$$\hat{\sigma}_r = \zeta_{\rho-1} + l_{\rho-2}\zeta_{\rho-2} + \dots + l_1\zeta_1 + l_0\zeta_0 \quad (19)$$

Entretanto, os Teoremas 1 e 2 apenas garantem convergência local dos estados do erro para zero, já que  $e^{(\rho)}(t)$  deve ser uniformemente limitado.

#### 5 Filtro de Avanço de Fase (Filtro Lead)

A variável de deslizamento também pode ser obtida utilizando um filtro de avanço de fase (filtro lead) para gerar estimativas das derivadas do erro. Para plantas com grau relativo  $\rho > 1$  a variável de deslizamento pode ser estimada por:

$$\hat{\sigma}_l = L_a(s)e, \quad L_a(s) = \frac{L(s)}{F(\tau s)} \quad (20)$$

Onde  $F(\tau s) = (\tau s + 1)^{\rho-1}, \tau > 0$ . O filtro lead (20) também pode ser representado pela equação de estados:

$$\dot{\vartheta} = \frac{1}{\tau} \begin{bmatrix} -\bar{a}_{\rho-2} & 1 & 0 & \dots & 0 \\ -\bar{a}_{\rho-3} & 0 & 1 & \dots & 0 \\ \vdots & \vdots & \vdots & \ddots & \vdots \\ -\bar{a}_1 & 0 & 0 & \dots & 1 \\ -\bar{a}_0 & 0 & 0 & \dots & 0 \end{bmatrix} \vartheta + \begin{bmatrix} \bar{b}_{\rho-2} \\ \bar{b}_{\rho-3} \\ \vdots \\ \bar{b}_1 \\ \bar{b}_0 \end{bmatrix} e$$

$$\hat{\sigma}_l = [1 \ 0 \ 0 \ \dots \ 0] \vartheta + \frac{1}{\tau^{\rho-1}} e \quad (21)$$

sendo que  $\bar{a}_i = C_{\rho-1-i}^{\rho-1}, C_k^n = n!/(k!(n-k)!)$  e  $\bar{b}_i = (l_i - \bar{a}_i/\tau^{(\rho-1-i)})/\tau^{i+1}$ . Definindo o erro de estimação do filtro lead  $\varepsilon_l = \hat{\sigma}_l - \sigma$  e aplicando a seguinte transformação de estados:

$$x_{\varepsilon_i} = \vartheta_i + \frac{1}{\tau^{(\rho-i)}} \left( \sum_{k=0}^{i-1} l_{\rho-i+k} e^{(k)} \right) - C_{\rho-i}^{\rho-1} \sigma,$$

$$i = 1, \dots, \rho - 1$$

(22)

onde  $\varepsilon_l = x_{\varepsilon_1}$  e  $l_{\rho-1} = 1$ . A dinâmica do erro de estimação é dada por:

$$\dot{x}_{\varepsilon} = \frac{1}{\tau} A_{\varepsilon} x_{\varepsilon} + b_{\varepsilon} \dot{\sigma}, \quad \varepsilon_l = h_{\varepsilon}^T x_{\varepsilon} \quad (23)$$

sendo que:

$$A_\varepsilon = \begin{bmatrix} -a_{\rho-2} & 1 & 0 & \dots & 0 \\ -a_{\rho-3} & 0 & 1 & \dots & 0 \\ \vdots & \vdots & \vdots & \ddots & \vdots \\ -a_1 & 0 & 0 & \dots & 1 \\ -a_0 & 0 & 0 & \dots & 0 \end{bmatrix}, b_\varepsilon = \begin{bmatrix} -b_{\rho-2} \\ -b_{\rho-3} \\ \vdots \\ -b_1 \\ -b_0 \end{bmatrix}$$

$$h_\varepsilon^T = [1 \ 0 \ 0 \ \dots \ 0] \quad (24)$$

onde  $a_i = C_{\rho-1-i}^\rho$  e  $b_i = C_{i+1}^{\rho-1}$ . O sinal de controle pode ser projetado a partir da estimativa da variável de deslizamento utilizando o filtro lead. Considerando a perturbação de saída  $\beta_\alpha(t)$ , tem-se:

$$u = -f(t) \text{sign}(\hat{\sigma}_l + \beta_\alpha) \quad (25)$$

**Teorema 4** (Nunes et al., 2009): *Considere a planta (2) e o modelo de referência (3), com a lei de controle dada por (20) e (25). Considere que as hipóteses (A1)–(A4) e que a desigualdade (13) sejam satisfeitas. Se a perturbação  $\beta_\alpha(t)$  for absolutamente contínua e limitada por  $|\beta_\alpha(t)| \leq \tau K_R$ ,  $K_R > 0$ , então, para  $\tau > 0$  suficientemente pequeno, o sistema de malha fechada (6), (16), (23) e (25), com estados  $z^T = [x_e^T \ x_\varepsilon^T]$ , é uniformemente GEPs (Globally Exponentially practically Stable) com respeito a um conjunto residual de ordem  $\tau$ , isto é, existem constantes positivas  $c_z$  e  $a$  tal que  $\forall z(t_0), \forall t \geq t_0 \geq 0$ ,  $|z(t)| \leq c_z e^{-a(t-t_0)} |z(t_0)| + \mathcal{O}(\tau)$ .*

**Prova:** ver (Nunes et al., 2009)  $\square$

**Corolário 5** (Nunes et al., 2009): *Para todo  $R > 0$ , deve existir  $\tau > 0$  suficientemente pequeno de modo que, para um intervalo de tempo finito  $T$ , o vetor de estados do erro  $z(t)$  seja levado para um conjunto invariante  $D_R := \{z : |z| \leq R\}$ .*

**Corolário 6** (Nunes et al., 2009): *O sinal  $e^{(\rho)}(t)$  é uniformemente limitado. Além disso, se  $|x_e(t)| \leq R, \forall t \geq T$ , então deve existir uma constante positiva  $C_\rho$  tal que:*

$$\left\| e_{[T,t]}^{(\rho)} \right\| \leq C_\rho \quad (26)$$

**Prova:** ver (Nunes et al., 2009)  $\square$

## 6 RED Global (GRED)

Visando alcançar uma convergência global dos estados do erro para zero, o filtro lead e o RED podem ser combinados. O GRED, proposto em (Nunes et al., 2009), é um estimador híbrido obtido através da combinação convexa das estimativas do filtro lead (20) e do RED (19):

$$\hat{\sigma}_g = \alpha(\tilde{\nu}_{rl}) \hat{\sigma}_l + [1 - \alpha(\tilde{\nu}_{rl})] \hat{\sigma}_r \quad (27)$$

onde  $\tilde{\nu}_{rl} = \hat{\sigma}_r - \hat{\sigma}_l$ , e  $\alpha(\tilde{\nu}_{rl})$  é uma função de chaveamento contínua, que assume valores no intervalo  $[0, 1]$ . O RED convencional ( $\mu_i = 0, \forall i$ ) foi

utilizado para gerar a estimativa  $\hat{\sigma}_r$ . Aqui, a estimativa  $\hat{\sigma}_r$  será gerada pelo RED modificado (17).

A idéia principal do GRED é projetar uma lei de chaveamento  $\alpha(\tilde{\nu}_{rl})$  tal que leve primeiramente os estados do erro para um conjunto invariante  $D_R$ , onde a convergência do RED é garantida e um limitante superior  $\bar{\varepsilon}$  para o erro de estimação do filtro lead pode ser determinado. Depois, a lei de chaveamento deve assegurar que apenas o RED seja utilizado para estimar a variável de deslizamento ideal  $\sigma$ .

A lei de chaveamento foi proposta de modo a considerar o comportamento do RED como uma perturbação de saída uniformemente limitada de ordem  $\tau$ . Desta forma, de acordo com o Teorema 4 e caso os sinais do sistema se mantenham limitados, o sistema pode ser considerado GEPs com respeito a um conjunto residual de ordem  $\tau$  e sua convergência para um conjunto invariante  $D_R$  é garantida. A lei de chaveamento é projetada de modo que  $|\hat{\sigma}_g - \hat{\sigma}_l| \leq \tau K_R$ :

$$\alpha(\tilde{\nu}_{rl}) = \begin{cases} 0, & |\tilde{\nu}_{rl}| < \varepsilon_M - \Delta \\ (|\tilde{\nu}_{rl}| - \varepsilon_M + \Delta)/\Delta, & \varepsilon_M - \Delta \leq |\tilde{\nu}_{rl}| < \varepsilon_M \\ 1, & |\tilde{\nu}_{rl}| \geq \varepsilon_M \end{cases} \quad (28)$$

Onde  $0 < \Delta < \varepsilon_M$  é utilizada para suavizar a função de chaveamento, e  $\varepsilon_M := \tau K_R$ , com  $K_R$  sendo escolhido de modo que  $\varepsilon_M - \Delta > \bar{\varepsilon}_l$ . Após um tempo finito, essa condição implica que  $\alpha = 0$ , ou seja, apenas o RED é utilizado, assegurando uma estimação exata da variável de deslizamento ideal  $\sigma$ .

Utilizando a função de modulação definida em (14), a lei de controle pode ser dada por:

$$u = -f(t) \text{sign}(\hat{\sigma}_g) \quad (29)$$

**Teorema 7** *Considere a planta (2) e o modelo de referência (3), com a lei de controle dada por (27) e (29). A função de chaveamento  $\alpha(\cdot)$  é definida em (28). Considere as suposições feitas na seção 2 e que a desigualdade (13) seja satisfeita. Para  $\tau > 0$  suficientemente pequeno, o sistema de malha fechada (6), (16), (23) e (29) é GEPs com respeito a um conjunto residual de ordem  $\tau$ . Além disso, para  $K_R, \lambda_i$  e  $\mu_i$  ( $i = 1, \dots, \rho-1$ ) apropriadamente escolhidos, a estimação da variável de deslizamento ideal  $\sigma$  se torna exata, sendo feita exclusivamente pelo RED ( $\alpha(\cdot) = 0$ ) após um tempo finito. Então, o vetor de estados do erro de malha fechada  $z^T = [x_e^T \ x_\varepsilon^T]$ , e portanto o erro de rastreamento de saída  $e$ , tendem exponencialmente para zero.*

**Prova:** (segue os mesmos passos da prova do (Nunes et al., 2009, Teorema 3)  $\square$

## 7 Resultados de Simulações

Primeiramente, pretende-se comparar o desempenho do RED modificado ao do RED convencional

para o caso em que se usa apenas o diferenciador para estimar a variável de deslizamento  $\sigma$ , ou seja, para o caso em que  $u = -f(t) \text{sign}(\hat{\sigma}_r)$ . A planta e a perturbação de entrada são assumidas incertas e dadas por:

$$G_p(s) = \frac{2}{(s+1)(s-2)}, \quad d(t) = \text{sqw}(5t) \quad (30)$$

Onde  $\text{sqw}(\cdot)$  representa uma onda quadrada unitária. O sinal e o modelo de referência são dados por  $r(t) = \sin(0.5t)$  e:

$$M(s) = \frac{1}{(s+1)^2}, \quad L(s) = (s+1) \quad (31)$$

Outros parâmetros de projeto são  $\bar{\theta}^T = [3, 0.2, 5, 0.5]$  e  $\hat{d} + \delta = 1$ . Os parâmetros dos RED's são  $\lambda_0 = 1.5C_2^{1/2}$ ,  $\lambda_1 = 1.1C_2$ , com  $C_2 = 10$ , além de  $\mu_0 = 6$  e  $\mu_1 = 3$  para o diferenciador modificado. As simulações são realizadas utilizando o Método de Euler com passo de integração  $10^{-4}$ .

A Figura 1 apresenta os resultados para condições iniciais da planta dadas por  $y_p(0) = 0.3$  e  $\dot{y}_p(0) = 1$ . Nota-se uma convergência mais rápida para o sistema operando com o RED modificado. Isso ocorre devido aos termos lineares adicionais, que possibilitam maior rapidez diante de erros maiores.

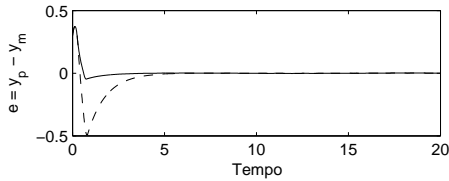


Figura 1: Erro de rastreamento de saída  $e = y_p - y_m$  para condições iniciais  $y_p(0) = 0.3$  e  $\dot{y}_p(0) = 1$  e controlador  $u = -f(t) \text{sign}(\hat{\sigma}_r)$ , considerando RED's convencional (--) e modificado (—).

Considerando as condições iniciais  $y_p(0) = 1$  e  $\dot{y}_p(0) = 6$ , é apresentado na Figura 2 o resultado do erro de rastreamento de saída. Neste caso, o RED convencional não é capaz de garantir a convergência do erro para zero, o que comprova a melhora de desempenho e robustez no diferenciador quando são adicionados os termos lineares.

Para as condições iniciais  $y_p(0) = 3$  e  $\dot{y}_p(0) = 6$ , a Figura 3 mostra que o RED modificado não é suficiente para garantir a convergência do sistema.

Utiliza-se agora o GRED para gerar a lei de controle  $u = -f(t) \text{sign}(\hat{\sigma}_g)$ , com os parâmetros da função de chaveamento dados por  $K_R = 20$ ,  $\varepsilon_M = 20\tau$  e  $\Delta = 5\tau$ . A Figura 4 mostra que o GRED alcança um rastreamento preciso, apesar da perturbação  $d(t)$ . O gráfico da função de chaveamento  $\alpha(\cdot)$  mostra que, inicialmente, apenas o filtro lead é utilizado para estimar  $\sigma$ , sendo substituído ao longo do tempo pelo RED, que garante a exatidão da estimativa de  $\sigma$  após um tempo finito.

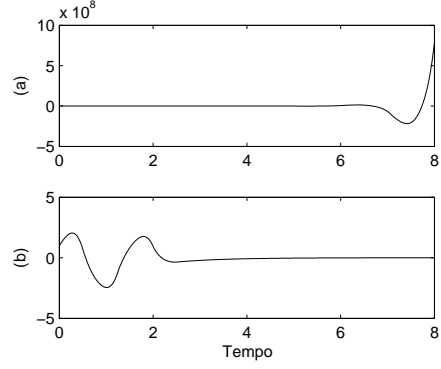


Figura 2: Erro de rastreamento de saída  $e = y_p - y_m$  para condições iniciais  $y_p(0) = 1$  e  $\dot{y}_p(0) = 6$  e controlador  $u = -f(t) \text{sign}(\hat{\sigma}_r)$ , considerando RED's convencional (a) e modificado (b).

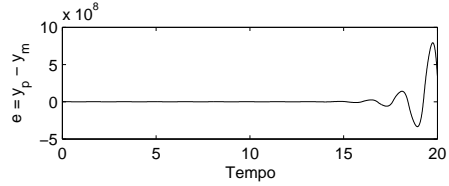


Figura 3: Erro de rastreamento de saída  $e = y_p - y_m$  para condições iniciais  $y_p(0) = 1$  e  $\dot{y}_p(0) = 6$  e controlador  $u = -f(t) \text{sign}(\hat{\sigma}_r)$ , considerando RED modificado.

## 8 Conclusão

Este trabalho apresenta um controlador baseado em uma modificação do RED global através do qual se obteve um melhor desempenho em comparação ao algoritmo convencional. Esta técnica permite o rastreamento de saída global para plantas incertas com grau relativo arbitrário usando controle por modos deslizantes com realimentação de saída. O estimador híbrido é utilizado para contornar o obstáculo do grau relativo e os resultados são testados por simulações numéricas. Trabalhos futuros incluem a demonstração formal do algoritmo na forma mais geral e a aplicação em sistemas multivariáveis.

## Agradecimentos

Este trabalho foi parcialmente financiado pela FAPERJ, CAPES e pelo CNPq.

## Apêndice

### Prova do Lema 3

Neste trabalho preliminar, apresenta-se a prova para o diferenciador de primeira ordem. Embora a aplicação deste seja restrita a sistemas de grau relativo  $\rho = 2$ , uma prova mais geral pode ser obtida seguindo os passos de (Nunes et al., 2013). Considerando o diferenciador de primeira ordem na forma recursiva:

$$\begin{cases} \dot{\zeta}_0 = v_0 \\ v_0 = -\lambda_0 |\zeta_0 - e|^{1/2} \text{sign}(\zeta_0 - e) + \\ \quad -\mu_0 (\zeta_0 - e) + \zeta_1 \\ \dot{\zeta}_1 = -\lambda_1 \text{sign}(\zeta_1 - v_0) - \mu_1 (\zeta_1 - v_0) \end{cases} \quad (32)$$

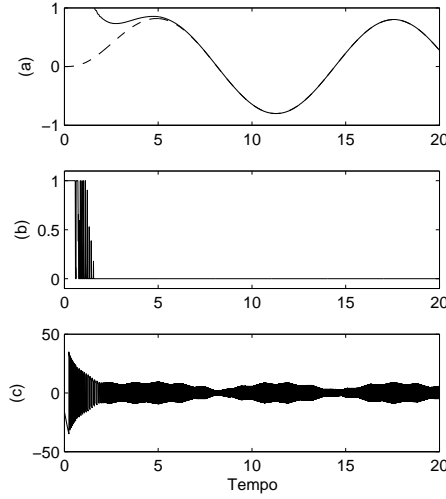


Figura 4: Sistema com GRED. (a) Rastreamento de saída:  $(-)$   $y_p$ ,  $(- -)$   $y_m$ ; (b) Função de chaveamento  $\alpha(\cdot)$ ; (c) Sinal de controle  $u = -f(t) \text{sign}(\hat{\sigma}_g)$ .

Este poder ser escrito na forma não recursiva:

$$\begin{cases} \dot{\zeta}_0 = v_0 \\ v_0 = -\lambda_0|\zeta_0 - e|^{1/2} \text{sign}(\zeta_0 - e) + \\ \quad -\mu_0(\zeta_0 - e) + \zeta_1 \\ \dot{\zeta}_1 = -\lambda_1 \text{sign}(\lambda_0|\zeta_0 - e|^{1/2} \text{sign}(\zeta_0 + \\ \quad + \mu_0(\zeta_0 - e)) - \mu_1(\lambda_0|\zeta_0 - e|^{1/2} \text{sign}(\zeta_0 + \\ \quad - e) + \mu_0(\zeta_0 - e)) \end{cases} \quad (33)$$

Nota-se que  $\text{sign}(\lambda_0|\zeta_0 - e|^{1/2} \text{sign}(\zeta_0 - e) + \mu_0(\zeta_0 - e))$  possui o mesmo sinal de  $(\zeta_0 - e)$ , assim:

$$\begin{cases} \dot{\zeta}_0 = v_0 \\ v_0 = -\lambda_0|\zeta_0 - e|^{1/2} \text{sign}(\zeta_0 - e) + \\ \quad -\mu_0(\zeta_0 - e) + \zeta_1 \\ \dot{\zeta}_1 = -\lambda_1 \text{sign}(\zeta_0 - e) \\ \quad -\mu_1(\lambda_0|\zeta_0 - e|^{1/2} \text{sign}(\zeta_0 - e) + \\ \quad + \mu_0(\zeta_0 - e)) \end{cases}$$

Introduzindo  $\eta_i = \zeta_i - e^{(i)}$ , tem-se que:

$$\begin{aligned} \dot{\eta}_0 &= -\lambda_0|\eta_0|^{1/2} \text{sign}(\eta_0) - \mu_0(\eta_0) + \eta_1 \\ \dot{\eta}_1 &= -\lambda_1 \text{sign}(\eta_0) + \\ &\quad - \mu_1(\lambda_0|\eta_0|^{1/2} \text{sign}(\eta_0) + \mu_0\eta_0) - \ddot{e} \end{aligned}$$

As equações podem ser reescritas na forma:

$$\dot{\eta}_i = -a_i(\eta_0)\eta_0 - b_i(\eta_0) + \eta_{i+1} \quad (34)$$

onde tem-se

$$a_0(\eta_0) = \begin{cases} \mu_0, & |\eta_0| \leq 1 \\ \frac{\lambda_0}{|\eta_0|^{1/2}} + \mu_0, & |\eta_0| > 1 \end{cases}$$

$$b_0(\eta_0) = \begin{cases} \lambda_0|\eta_0|^{1/2} \text{sign}(\eta_0), & |\eta_0| \leq 1 \\ 0, & |\eta_0| > 1 \end{cases}$$

Pode ser verificado que  $a_0(\eta_0) < \lambda_0 + \mu_0$  e  $|b_0(\eta_0)| \leq \lambda_0$ . Tem-se ainda:

$$a_1(\eta_0) = \begin{cases} \mu_1\mu_0, & |\eta_0| \leq 1 \\ \frac{\lambda_1}{|\eta_0|} + \frac{\mu_1\lambda_0}{|\eta_0|^{1/2}} + \mu_1\mu_0, & |\eta_0| > 1 \end{cases}$$

$$b_1(\eta_0) = \begin{cases} \lambda_1 \text{sign}(\eta_0) + \\ \mu_1\lambda_0|\eta_0|^{1/2} \text{sign}(\eta_0) + \ddot{e}, & |\eta_0| \leq 1 \\ \ddot{e}, & |\eta_0| > 1 \end{cases}$$

Sabe-se por hipótese que  $|\ddot{e}| \leq K_2$ . Então, pode ser verificado que  $a_1(\eta_0) < \lambda_1 + \mu_1\lambda_0 + \mu_1\mu_0$  e

que  $|b_1(\eta_0)| \leq \lambda_1 + \mu_1\lambda_0 + K_2$ . Um novo vetor de estados  $\eta = [\eta_0 \ \eta_1]^T$  é definido e o sistema é escrito na forma matricial:

$$\dot{\eta} = A(\eta)\eta + b(\eta) \quad (35)$$

Onde:

$$A(\eta) = \begin{bmatrix} -a_0(\eta_0) & 1 \\ -a_1(\eta_0) & 0 \end{bmatrix}, \quad b(\eta) = \begin{bmatrix} -b_0(\eta_0) \\ -b_1(\eta_0) \end{bmatrix} \quad (36)$$

Note que  $|A(\eta)| < c_1$  e  $|b(\eta)| < c_2$ , onde  $c_1$  e  $c_2$  são constantes positivas. Considerando agora a função de Lyapunov  $V(\eta) = \eta^T \eta$ . Derivando  $V$  no tempo, tem-se  $\dot{V}(\eta) = 2\eta^T A(\eta)\eta + 2\eta^T b(\eta)$ . Então obtém-se  $\dot{V} \leq 2c_1|\eta|^2 + 2c_2|\eta|$  que é da forma  $\dot{V} \leq 2c_1V + 2c_2\sqrt{V}$ . Considerando a equação de comparação  $\dot{V}_c = 2c_1V + 2c_2\sqrt{V}$ , se  $V_c(t_0) = V(t_0)$ , então  $V(t) \leq V_c(t)$ ,  $\forall t \geq t_0$ . Utilizando  $\varphi^2 = V_c$ , pode-se mostrar que  $V(t) \leq e^{c_3 t}(c_4 V(t_0) + c_5) + c_6$  onde  $c_3, c_4, c_5, c_6$  são constantes positivas. Assim,  $V(t)$  não escapa em tempo finito para nenhum  $K_2$  e assim  $\eta$  pertence a  $L_\infty e$ . Além disso, uma vez que  $|e^{(i)}(t)| \leq K_i, \forall t, i = 0, \dots, p_j$ , então conclui-se que  $\zeta$  não diverge em tempo finito.

## Referências

- Dávila, A., Moreno, J. and Fridman, L. (2010). Variable gains super-twisting algorithm: A Lyapunov based design, *Proc. American Contr. Conf.*, Baltimore, MD.
- Edwards, C. and Spurgeon, S. (1998). *Sliding Mode Control : Theory and Applications*, Systems and Control Book Series, Taylor & Francis.
- Fridman, L. and Levant, A. (2002). Higher order sliding modes, in Perruquetti and B. J. P. (eds), *Sliding Mode Control in Engineering*, Marcel Dekker, New York, pp. 53–101.
- Levant, A. (1993). Sliding order and sliding accuracy in sliding mode control, *Int. J. Robust and Non-linear Contr.* **58**(6): 1247–1263.
- Levant, A. (1998). Robust exact differentiation via sliding mode technique, *Automatica* **34**(3): 379–384.
- Levant, A. (2003). Higher-order sliding modes, differentiation and output-feedback control, *Int. J. Contr.* **76**(9): 924–941.
- Levant, A. (2009). Non-homogeneous finite-time-convergent differentiator, *IEEE Conference on Decision and Control CDC'09*, Shanghai, P.R. China.
- Moreno, J. A. and Osorio, M. (2008). A lyapunov approach to second-order sliding mode controllers and observers, *IEEE Conference on Decision and Control CDC'08*, pp. 2856–2861.
- Nunes, E. V. L., Hsu, L. and Lizarralde, F. (2009). Global exact tracking for uncertain systems using output-feedback sliding mode control, *IEEE Trans. Automat. Contr.* **54**: 1141–1147.
- Nunes, E. V. L., Peixoto, A. J., Oliveira, T. R. and Hsu, L. (2013). Global exact tracking for uncertain mimo linear systems by output feedback sliding mode control, *Journal of the Franklin Institute*. <http://dx.doi.org/10.1016/j.franklin.2013.01.020>.